Московский государственный университет имени М.В.Ломоносова
Факультет вычислительной математики и кибернетики

Трифонов Владислав Дмитриевич

Отчет по заданию 1: Многопоточная реализация солвера CG для СЛАУ с разреженной матрицей, заданной в формате ELL

Курс “Параллельные вычисления” (1 курс магистратуры ВМК)

группа 528, дата подачи 13.10.2019

Москва, 2019

Содержание

1 Описание задания и программной реализации

1.1 Краткое описание задания

В качестве задания 1 по курсу “Параллельные вычисления” предлагалось реализовать численное решение СЛАУ с разреженной матрицей, заданной в формате ELLPACK, методом сопряженных градиентов с предобуславливателем Якоби. Для этого требовалось:

- реализовать генератор матрицы с диагональным преобладанием для расчетной области, представленной трехмерной декартовой решеткой заданного размера Nx, Ny, Nz
- выполнить последовательные реализации операций $dot, axpby, SpMV$, а также вспомогательные функции для работы с векторами
- реализовать предложенный солвер на основе данных операций
- выполнить многопоточные реализации данных операций с помощью библиотеки OpenMP
- реализовать многопоточный солвер
- реализовать проверочные вызовы последовательных и многопоточных реализаций для ручной проверки и оценки времени работы алгоритма
- исследовать эффективность реализованных алгоритмов

1.2 Краткое описание программной реализации

Реализация была выполнена на языке C.

1.2.1 Сборка

Сборка выполняется с помощью Makefile. Компилятор и его параметры задаются в переменных Makefile $CXX, CXXFLAGS$ (компилятор по-умолчанию – gcc). Скомпилированная программа находится по пути $./build/bin/main$.

1.2.2 Запуск

Параметры запуска можно узнать с помощью команды:

```
# ./build/bin/main --help
```

.

Пример запуска реализованных солверов с предварительной проверкой операций при размере сетки 5x5x5, 2 потоках, максимальном числе итераций 6, параметром $eps = 0.1$, усреднением по 3 запускам:

```
# ./build/bin/main --qa --nx=5 --ny=5 --nz=5 --nt=2 --maxit=6 --tol=0.1 --nseeds=3
```

1.2.3 Реализация

Для работы с матрицами в формате ELLPACK был реализован модуль $ell\_utils.c$, в нем содержатся функции:

- generate_ELL_3D_DECART – генерация случайной матрицы с диагональным преобладанием для трехмерной декартовой решетки заданных размеров
- delete_ELL – корректное освобождение выделенной памяти

Для работы с векторами был реализован модуль $vector\_utils.c$, в нем содержатся функции:

- create_uninit_Vector – создание вектора заданной размерности без его инициализации
- create_const_Vector – создание вектора заданной размерности с константной инициализацией
- create_cosine_Vector – создание вектора заданной размерности с инициализацией $x_i = cos(i * i)$
- create_sin_Vector – создание вектора заданной размерности с инициализацией $x_i = sin(i * i)$
- copy_Vector – создание копии вектора

- copy_from_Vector_to_Vector – копирование значений одного вектора в другой. Векторы должны быть одинаковых размеров
- compute_sum – подсчет суммы компонент вектора
- compute_L2_norm – подсчет L2 нормы
- compute_L1_norm – подсчет L1 нормы
- compute_Linf_norm – подсчет Linf нормы
- delete_Vector – корректное освобождение выделенной памяти

Базовые операции работы с векторами и матрицами выполнены в модуле *ops_utils.c*:

- dot – скалярное произведение двух векторов
- axpby_store – операция $\vec{res} = a * \vec{x} + b * \vec{y}$, вектор результат должен быть указан
- axpby – аналогичная операция, для результата аллоцируется новая память
- SpMV_store – операция умножения разреженной матрицы на вектор, вектор результат должен быть указан
- SpMV – аналогичная операция, для результата аллоцируется новая память
- inv_diag_SpMV_store – операция умножения обратной диагональной части разреженной матрицы на вектор, вектор результат должен быть указан
- inv_diag_SpMV – аналогичная операция, для результата аллоцируется новая память

Аналогичные многопоточные операции реализованы в модуле *omp_ops_utils.c*.

В модулях *solver.c* и *omp_solver.c* реализованы функции *solve* и *omp_solve* для решения СЛАУ с разреженной матрицей, заданной правой частью, начальным приближением, параметром *eps* и максимальным числом итераций.

В модуле *main* производится парсинг аргументов командной строки и использование приведенных функций.

2 Исследование производительности

2.1 Характеристики вычислительной системы

Исследование было выполнено на ПК с 4-х ядерным CPU Intel i5-3570K, работающим на частоте 4.1 GHz, с памятью 4*4Gb DDR3-1600MHz. Пиковая производительность 131,2 GFLOPS, пиковая пропускная способность памяти 12.8 Gb/s. ОС – Ubuntu 16.04.

2.1.1 Компиляция

Компиляция проводилась с помощью компилятора *gcc* 5.4.0 с флагами -g -Wall -O3 -Werror -Wl,-z,defs -Wextra -fopenmp.

2.2 Результаты измерений производительности

При проведении экспериментов проводилось 3 запуска, далее время усреднялось (--nseeds=3). В многопоточном варианте использовалось 2 и 4 потока(--nt=2, --nt=4). Параметр $eps = 0.1$, $maxit = 20$ (--tol=0.1 --maxit=20).

Посчитаем количество FLOP для каждой из операций в зависимости от размера N:

- $FLOP(dot) = N + (N - 1) = 2N - 1$, N умножений и $N - 1$ сложение
- $FLOP(axpby) = 2N + 1N = 3N$, $2N$ умножений и N сложений
- $FLOP(SpMV) = m * N = 7N$, где m – количество ненулевых элементов матрицы в строке, в предложенной декартовой сетке $m = 7$
- $FLOP(inv\_diag\_SpMV) = 2N$, N умножений и N делений
- $FLOP(solver) = FLOP(SpMV) + FLOP(axpby) + iter\_num *$
  $* (FLOP(inv\_diag\_SpMV) + FLOP(dot) + FLOP(axpby) + FLOP(SpMV) +$
  $+FLOP(dot)+1+2*FLOP(axpby)) = FLOP(SpMV)+FLOP(axpby)+iter\_num*$
  $*(FLOP(inv\_diag\_SpMV)+2*FLOP(dot)+3*FLOP(axpby)+FLOP(SpMV)+$
  $+1)) = 10N + iter\_num * (2N + 4N - 2 + 9N + 7N + 1) = N(10 + iter\_num * 22)$,
  где $iter\_num$ – количество проведенных итераций

Размер системы (N)	10^6	10^7	$5 * 10^7$	$7.5 * 10^7$
GFLOP	$2 * 10^{-3}$	$2 * 10^{-2}$	$1 * 10^{-1}$	$1.5 * 10^{-1}$
Время последовательной реализации (в секундах) (T_1)	**0.001**	**0.009**	**0.047**	**0.070**
GFLOPS (последовательная версия)	2.0	2.22	2.12	2.14
Время многопоточной реализации, 2 потока (T_2)	**0.001**	**0.008**	**0.039**	**0.058**
GFLOPS (2 потока)	2.0	2.5	2.56	2.59
Ускорение (2 потока) (T_1/T_2)	***1.0***	***1.125***	***1.20***	***1.21***
Время многопоточной реализации, 4 потока (T_4)	**0.003**	**0.009**	**0.039**	**0.057**
GFLOPS (4 потока)	0.67	2.22	2.56	2.63
Ускорение (4 потока) (T_1/T_4)	***0.33***	***1.0***	***1.20***	***1.23***
Относительное ускорение (T_2/T_4)	*0.33*	*0.89*	*1.0*	*1.01*

Таблица 1: Результаты производительности операции dot

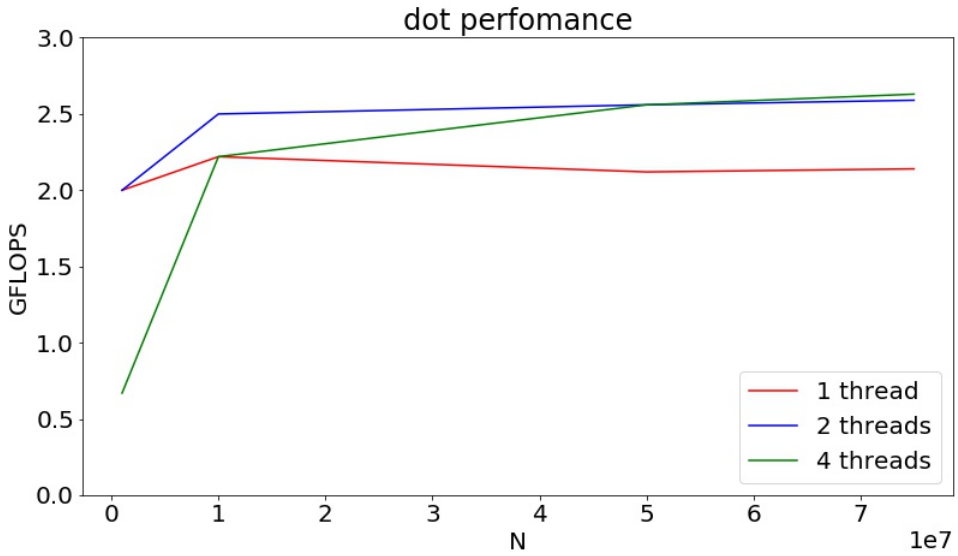

Рис. 1: Графики производительности операции dot

Размер системы (N)	10^6	10^7	$5 * 10^7$	$7.5 * 10^7$
GFLOP	$3 * 10^{-3}$	$3 * 10^{-2}$	$1.5 * 10^{-1}$	$2.25 * 10^{-1}$
Время последовательной реализации (в секундах) (T_1)	**0.003**	**0.027**	**0.135**	**0.204**
GFLOPS (последовательная версия)	1.0	1.11	1.11	1.10
Время многопоточной реализации, 2 потока (T_2)	**0.001**	**0.019**	**0.084**	**0.140**
GFLOPS (2 потока)	3.0	1.58	1.78	1.61
Ускорение (2 потока) (T_1/T_2)	***3.0***	***1.42***	***1.61***	***1.46***
Время многопоточной реализации, 4 потока (T_4)	**0.002**	**0.017**	**0.070**	**0.101**
GFLOPS (4 потока)	2.0	1.76	2.14	2.23
Ускорение (4 потока) (T_1/T_4)	***1.5***	***1.59***	***1.93***	***2.0***
Относительное ускорение (T_2/T_4)	*0.5*	*1.12*	*1.2*	*1.39*

Таблица 2: Результаты производительности операции axpby

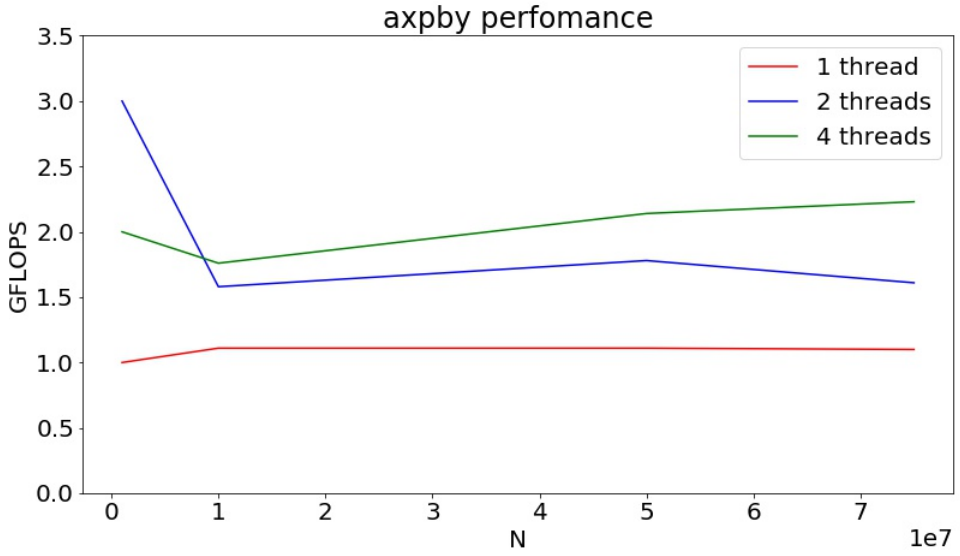

Рис. 2: Графики производительности операции axpby

Размер системы (N)	10^6	10^7	$5 * 10^7$	$7.5 * 10^7$
GFLOP	$7 * 10^{-3}$	$7 * 10^{-2}$	$3.5 * 10^{-1}$	$5.25 * 10^{-1}$
Время последовательной реализации (в секундах) (T_1)	**0.009**	**0.107**	**0.535**	**0.807**
GFLOPS (последовательная версия)	0.77	0.65	0.65	0.65
Время многопоточной реализации, 2 потока (T_2)	**0.007**	**0.076**	**0.369**	**0.552**
GFLOPS (2 потока)	1.0	0.92	0.95	0.95
Ускорение (2 потока) (T_1/T_2)	***1.28***	***1.4***	***1.45***	***1.46***
Время многопоточной реализации, 4 потока (T_4)	**0.008**	**0.075**	**0.341**	**0.514**
GFLOPS (4 потока)	0.875	0.93	1.03	1.02
Ускорение (4 потока) (T_1/T_4)	***1.125***	***1.43***	***1.57***	***1.57***
Относительное ускорение (T_2/T_4)	*0.875*	*1.01*	*1.08*	*1.07*

Таблица 3: Результаты производительности операции SpMV

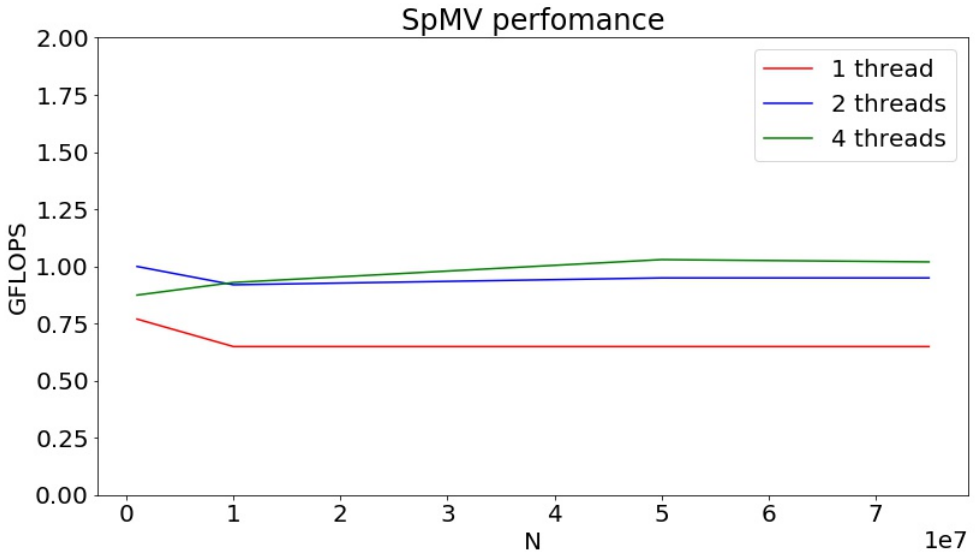

Рис. 3: Графики производительности операции SpMV

Размер системы (N)	10^6	10^7	$5 * 10^7$	$7.5 * 10^7$
Количество итераций	7	8	9	9
GFLOP	$1.64 * 10^{-1}$	1.86	10.4	15.6
Время последовательной реализации (в секундах) (T_1)	**0.161**	**1.963**	**10.719**	**15.925**
GFLOPS (последовательная версия)	1.01	0.95	0.97	0.98
Время многопоточной реализации, 2 потока (T_2)	**0.131**	**1.531**	**8.492**	**12.760**
GFLOPS (2 потока)	1.25	1.21	1.22	1.22
Ускорение (2 потока) (T_1/T_2)	***1.23***	***1.28***	***1.26***	***1.25***
Время многопоточной реализации, 4 потока (T_4)	**0.139**	**1.496**	**8.151**	**12.331**
GFLOPS (4 потока)	1.18	1.24	1.27	1.26
Ускорение (4 потока) (T_1/T_4)	***1.16***	***1.31***	***1.31***	***1.29***
Относительное ускорение (T_2/T_4)	*0.94*	*1.02*	*1.04*	*1.03*

Таблица 4: Результаты производительности солвера

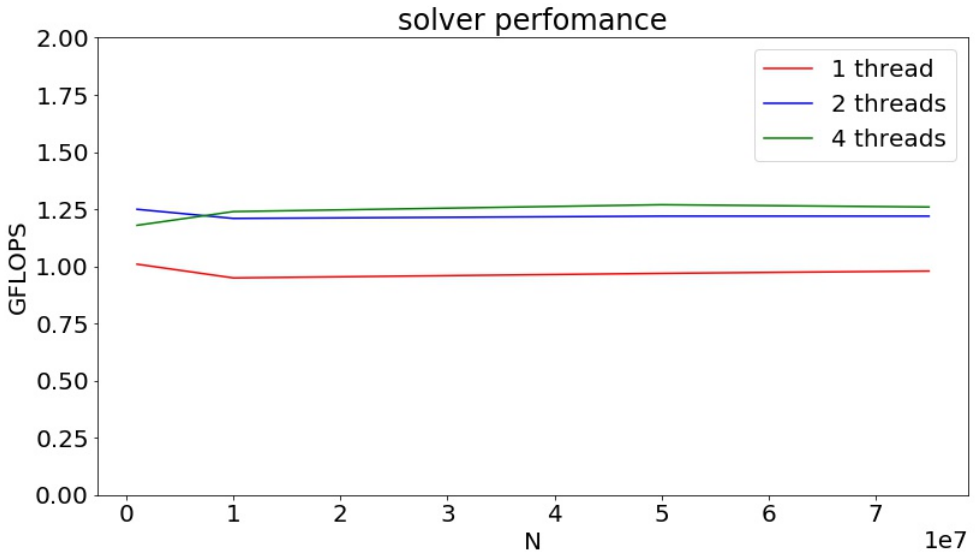

Рис. 4: Графики производительности солвера

3 Анализ полученных результатов

Пиковая производительность $TPP = 131,2$ GFLOPS, пиковая пропускная способность памяти $BW = 12.8$ Gb/s. На одно ядро $TPP_p = 32.8$ GFLOPS.

3.1 Процент от пика

Размер системы (N)	10^6	10^7	$5 * 10^7$	$7.5 * 10^7$
GFLOPS (последовательная версия)	2.0	2.22	2.12	2.14
Процент от пика ($GFLOPS/TPP_p$)	**6.1%**	**6.77%**	**6.46%**	**6.5%**
GFLOPS (2 потока)	2.0	2.5	2.56	2.59
Процент от пика (2 потока) ($GFLOPS/(2 * TPP_p)$)	**3.05%**	**3.81%**	**3.9%**	**3.95%**
GFLOPS (4 потока)	0.67	2.22	2.56	2.63
Процент от пика (4 потока) ($GFLOPS/(4 * TPP_p)$)	**0.51%**	**1.69%**	**1.95%**	**2.00%**

Таблица 5: Анализ достигаемой производительности для операции dot

Размер системы (N)	10^6	10^7	$5 * 10^7$	$7.5 * 10^7$
GFLOPS (последовательная версия)	1.0	1.11	1.11	1.10
Процент от пика ($GFLOPS/TPP_p$)	**3.04%**	**3.38%**	**3.38%**	**3.35%**
GFLOPS (2 потока)	3.0	1.58	1.78	1.61
Процент от пика (2 потока) ($GFLOPS/(2 * TPP_p)$)	**4.57%**	**2.4%**	**2.71%**	**2.45%**
GFLOPS (4 потока)	2.0	1.76	2.14	2.23
Процент от пика (4 потока) ($GFLOPS/(4 * TPP_p)$)	**1.52%**	**1.34%**	**1.63%**	**1.70%**

Таблица 6: Анализ достигаемой производительности для операции axpby

Размер системы (N)	10^6	10^7	$5 * 10^7$	$7.5 * 10^7$
GFLOPS (последовательная версия)	0.77	0.65	0.65	0.65
Процент от пика ($GFLOPS/TPP_p$)	**2.34%**	**1.98%**	**1.98%**	**1.98%**
GFLOPS (2 потока)	1.0	0.92	0.95	0.95
Процент от пика (2 потока) ($GFLOPS/(2 * TPP_p)$)	**1.5%**	**1.4%**	**1.45%**	**1.45%**
GFLOPS (4 потока)	0.875	0.93	1.03	1.02
Процент от пика (4 потока) ($GFLOPS/(4 * TPP_p)$)	**0.66%**	**0.71%**	**0.79%**	**0.78%**

Таблица 7: Анализ достигаемой производительности для операции SpMV

Размер системы (N)	10^6	10^7	$5 * 10^7$	$7.5 * 10^7$
GFLOPS (последовательная версия)	1.01	0.95	0.97	0.98
Процент от пика ($GFLOPS/TPP_p$)	**3.08%**	**2.90%**	**2.96%**	**2.99%**
GFLOPS (2 потока)	1.25	1.21	1.22	1.22
Процент от пика (2 потока) ($GFLOPS/(2 * TPP_p)$)	**1.9%**	**1.84%**	**1.86%**	**1.86%**
GFLOPS (4 потока)	1.18	1.24	1.27	1.26
Процент от пика (4 потока) ($GFLOPS/(4 * TPP_p)$)	**0.90%**	**0.94%**	**0.97%**	**0.96%**

Таблица 8: Анализ достигаемой производительности солвера

3.2 Процент от достижимой производительности

Для оценки вычислительной интенсивности посчитаем количество обращений в памяти для каждой из операций, учитывая что $sizeof(double) = 4$ байта:

- $DATA(dot) = 4 * 3N = 12N$ байт, 2 чтения и 1 запись
- $DATA(axpby) = 4 * 3N = 12N$ байт, 2 чтения и 1 запись
- $DATA(SpMV) = 4 * N(3 * m + 1) = 88N$ байт, чтение m номеров столбцов и значений матрицы, m значений вектора для каждой строки матрицы и произвести 1 запись результата
- $DATA(inv\_diag\_SpMV) = 4 * 3N = 12N$ байт, 2 чтения и 1 запись
- $DATA(solver) = DATA(SpMV) + DATA(axpby) + iter\_num *$ $* (DATA(inv\_diag\_SpMV) + DATA(dot) + DATA(axpby) + 1 + DATA(SpMV) +$ $+ DATA(dot) + 2 + 2 * DATA(axpby)) = DATA(SpMV) + DATA(axpby) + iter\_num *$ $* (DATA(inv\_diag\_SpMV) + 2 * DATA(dot) + 3 * DATA(axpby) + DATA(SpMV) +$ $+ 3)) = 100N + iter\_num * 160N = N(100 + iter\_num * 160)$ байт

Теперь вычислим значение вычислительной интенсивности:

- $AI(dot) = \dfrac{2N-1}{12N} = \dfrac{1}{6} = 0.17$ FLOP/байт
- $AI(axpby) = \dfrac{3N}{12N} = \dfrac{1}{4} = 0.25$ FLOP/байт
- $AI(SpMV) = \dfrac{7N}{88N} = 0.08$ FLOP/байт
- $AI(solver) = \dfrac{10 + 22 * iter\_num}{100 + 160 * iter\_num}$ FLOP/байт

Теоретически достижимая производительность $TBP = min(TPP, BW * AI)$:

- $TBP(dot) = 12.8 * \dfrac{1}{6} = 2.13$ FLOPS
- $TBP(axpby) = 12.8 * \dfrac{1}{4} = 3.2$ FLOPS
- $TBP(SpMV) = 12.8 * \dfrac{7}{88} = 1.02$ FLOPS
- $TBP(solver) = 12.8 * \dfrac{10 + 22 * iter\_num}{100 + 160 * iter\_num}$ FLOPS

Размер системы (N)	10^6	10^7	$5 * 10^7$	$7.5 * 10^7$
TBP в FLOPS	2.13	2.13	2.13	2.13
GFLOPS (последовательная версия)	2.0	2.22	2.12	2.14
Процент от пика ($GFLOPS/TBP$)	**93.9%**	**104.2%**	**99.5%**	**100.4%**
GFLOPS (2 потока)	2.0	2.5	2.56	2.59
Процент от пика (2 потока) ($GFLOPS/TBP$)	**93.9%**	**117.4%**	**120.2%**	**121.6%**
GFLOPS (4 потока)	0.67	2.22	2.56	2.63
Процент от пика (4 потока) ($GFLOPS/TBP$)	**31.4%**	**104.2%**	**120.2%**	**123.5%**

Таблица 9: Анализ достигаемой производительности операции dot с учетом пропускной способности памяти

Размер системы (N)	10^6	10^7	$5 * 10^7$	$7.5 * 10^7$
TBP в FLOPS	3.2	3.2	3.2	3.2
GFLOPS (последовательная версия)	1.0	1.11	1.11	1.10
Процент от пика ($GFLOPS/TBP$)	**31.25%**	**34.69%**	**34.69%**	**34.37%**
GFLOPS (2 потока)	3.0	1.58	1.78	1.61
Процент от пика (2 потока) ($GFLOPS/TBP$)	**93.75%**	**49.37%**	**55.62%**	**50.31%**
GFLOPS (4 потока)	2.0	1.76	2.14	2.23
Процент от пика (4 потока) ($GFLOPS/TBP$)	**62.5%**	**55.0%**	**66.87%**	**69.69%**

Таблица 10: Анализ достигаемой производительности операции axpby с учетом пропускной способности памяти

Размер системы (N)	10^6	10^7	$5 * 10^7$	$7.5 * 10^7$
TBP в FLOPS	1.02	1.02	1.02	1.02
GFLOPS (последовательная версия)	0.77	0.65	0.65	0.65
Процент от пика ($GFLOPS/TBP$)	**75.49%**	**63.72%**	**63.72%**	**63.72%**
GFLOPS (2 потока)	1.0	0.92	0.95	0.95
Процент от пика (2 потока) ($GFLOPS/TBP$)	**98.03%**	**90.2%**	**93.14%**	**93.14%**
GFLOPS (4 потока)	0.875	0.93	1.03	1.02
Процент от пика (4 потока) ($GFLOPS/TBP$)	**85.78%**	**91.18%**	**100.98%**	**100.0%**

Таблица 11: Анализ достигаемой производительности операции SpMV с учетом пропускной способности памяти

Размер системы (N)	10^6	10^7	$5 * 10^7$	$7.5 * 10^7$
Количество итераций	7	8	9	9
TBP в FLOPS	1.72	1.72	1.73	1.73
GFLOPS (последовательная версия)	1.01	0.95	0.97	0.98
Процент от пика ($GFLOPS/TBP$)	**58.72%**	**55.23%**	**56.06%**	**56.65%**
GFLOPS (2 потока)	1.25	1.21	1.22	1.22
Процент от пика (2 потока) ($GFLOPS/TBP$)	**72.67%**	**70.34%**	**70.52%**	**70.52%**
GFLOPS (4 потока)	1.18	1.24	1.27	1.26
Процент от пика (4 потока) ($GFLOPS/TBP$)	**68.6%**	**72.09%**	**73.4%**	**72.8%**

Таблица 12: Анализ достигаемой производительности солвера с учетом пропускной способности памяти

4 Заключение

В результате практического задания была выполнена последовательная и многопоточная реализация солвера СЛАУ с разреженной матрицей. В ряде экспериментов было установлено, что, несмотря на высокую теоретическую пиковую производительность процессора, фактически достигаемая производительность реализованных алгоритмов сильно зависит от пропускной способности памяти, что ограничивает эффективность многопоточной версии солвера.